

前報^{1,2)}においては、開水路流れにおける乱れ特性量の普遍函数表示について考察し、主として流れ方向の乱れの強さの関数値にもとづいて普遍函数表示の妥当性について検討してきた。本報においては、前報で提案された普遍函数表示について、その後行われた本ラットフィロム流速計による乱れ計測結果によってさらに詳細な検討を加えるとともに、普遍函数表示における具体的な函数形について考察する。

1. 乱れ特性量の普遍函数表示

Reynolds数 R が十分大きく、いわゆる“Reynolds数相似則”が適用されるような流れについては、乱れの基本的特性を示す種々のEuler的乱れ特性量、すなわち、乱れの強さ、Euler的平均スケール、エネルギー逸散率について、従来より提案されてきた普遍函数表示を示すことが可能であろう。まず、乱れの強さについてはMonin-Obukhoff³⁾の相似則を適用し、Engelund⁴⁾による平均スケールに拘る普遍函数表示、およびエネルギー生成率より類似されるエネルギー逸散率に対する普遍函数表示を用いると、

$$\frac{u'}{U_f} = \phi_u \left(\frac{z}{H} \right) \dots\dots(1) \quad \frac{L_E}{H(U_f)} = \phi_{L_E} \left(\frac{z}{H} \right) \dots\dots(2) \quad \frac{E}{U_f^3/H} = \phi_E \left(\frac{z}{H} \right) \dots\dots(3)$$

となる。ここで、 u' : 流れ方向の乱れ速度の root-mean-square, U_f : まま流速, H : 水深, z : 路床からの高さ, L_E : Euler的平均スケール, E : エネルギー逸散率, ϕ : (3.4)のみを普遍函数, である。

一方、 u' , L_E および E の向には、Taylor⁵⁾により下記の関係式が成立する。

$$E \sim u'^3 / L_E \tag{4}$$

(1)~(3)の3式は(4)の関係式と同時に満足させないため、3種の乱れ特性量に対する普遍函数表示式のはたから2式を並び出し、残りの乱れ特性量に対する普遍函数表示式(4)の関係により求めることにすると、表-1に示される3種の普遍函数表示が得られる。ただし、case A, B, Cは、それぞれ、 L_E および E , u' および E , u' および L_E にもとづいて残りの特性量を求められたものである。

表-1 乱れ特性量に対する普遍函数表示

乱れ特性量	case A (L_E, E)	case B (u', E)	case C (u', L_E)
乱れの強さ	$u'/U_f (U_f/U_f)^3 = \phi_u^{(A)}(z/H)$	$u'/U_f = \phi_u^{(B)}(z/H)$	$u'/U_f = \phi_u^{(C)}(z/H)$
Euler的平均スケール	$L_E/H (U_f/U_f) = \phi_{L_E}^{(A)}(z/H)$	$L_E/H = \phi_{L_E}^{(B)}(z/H)$	$L_E/H (U_f/U_f) = \phi_{L_E}^{(C)}(z/H)$
エネルギー逸散率	$E/(U_f^3/H) = \phi_E^{(A)}(z/H)$	$E/(U_f^3/H) = \phi_E^{(B)}(z/H)$	$E/(U_f^3/H) \cdot (U_f/U_f) = \phi_E^{(C)}(z/H)$

表-1より明らかのように、各caseを分離する変数は (U_f/U_f) であって、それぞれのcase向の優位性を実験的に検討するには、ままた擾乱係数 $C_f = 2(U_f/U_f)^2$ に顕著に変化させた実験が必要である。

2. 関数値による普遍函数表示の検討

開水路流れにおける乱れ特性の乱れ計測による実験的解明においては、 U_f に与る2点に拘る考慮が必要である。1) 実際の乱れ計測においては、計測スケールの効果により、任意関数および高周波数の両端で切断された有限周波数領域内の乱れのみが計測の対象となる。2) 開水路流れの乱れ構造は、水深および水路幅の大きさ、あるいは水路形状の非一様性(水路のわん曲、河床の凹凸など)により

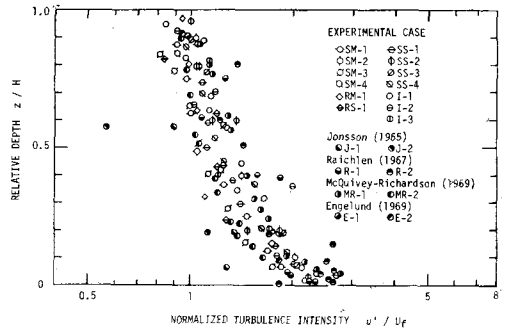
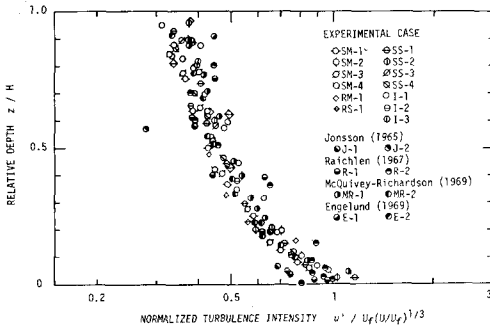


図-1 乱れの強度の普遍函数を示す

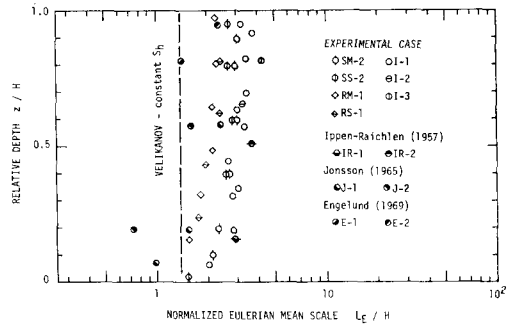
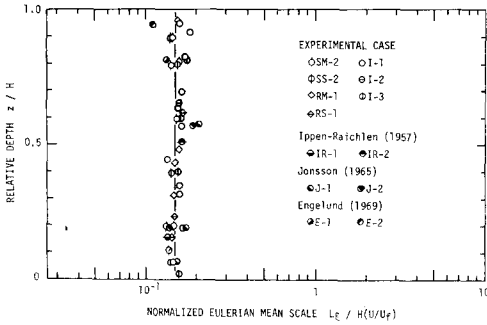


図-2 Eulerian平均スケールの普遍函数を示す

多重構造性としての特徴は有するが、左に述べた、2次元自由水路流れの乱れ特性に対象とする場合には、水路幅水深比が大きくなるにつれて、乱れ特性量の算定は、 π として水深が支配スケーリング特性量が独立される方法が用いられるべきではない。

以上の2点を考慮して、本研究においては、水路幅水深比10以上にした流れを対象とするときには、乱れ特性量の算定はスケーリングに基礎をおくことにした。乱れ特性量の算定は、 π のようである。すなわち、乱れ構造に支配するスケールが単一の場合、慣性領域におけるスケールの $-5/3$ 乗則を考慮して、スペクトル $S(f)$ の函数形を π のようには定する。

$$S(f) = \frac{4u'^2 T_E}{(1 + 6T_E f)^{5/3}} \quad (T_E: \text{時間的} \text{平均スケール}) \quad (5)$$

慣性領域のスペクトル $S_e(f)$ については、Kolmogoroffの相似則より π のようになされる。

$$S_e(f) = (2\pi)^{-2/3} S_e(u_E) f^{-5/3} \approx 0.138 (u_E)^{3/3} f^{-5/3} \quad (6)$$

ここに、 S_e は慣性領域のスペクトルに対する普遍定数(スペクトル定数)であって $S_e \approx 0.48$ である。⁷⁾ (5)および(6)より

$$\epsilon \approx 1.77 \frac{u'^3}{L_E} \quad (7)$$

となる。

以上よりわかるように、乱れスケールにより得られるスペクトルに(5)の函数形を適合させると、 u' 、 L_E および ϵ は決定されるが、すでに述べた自由水路流れの乱れの多重構造性により、実際のスペクトルへの

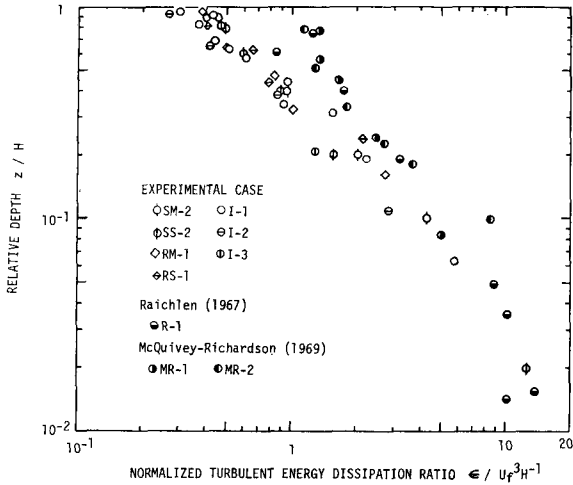


図-3 エネルギー-逸散率の普遍曲線表

適合は定らしも容易では無い。このため、本研究においては、実験スプルトルに用振数と来じた(54)を基礎として、水深に対応する用振数(1/H)と(54)のピーク値より β を算定し、(54)のピーク値はがより容易に決定できず、ピーク発生用振数 f_p の決定は困難であるため、慢性領域におけるスプルトルの(6)との適合より β を決定し、さらに β のみが β を用いて(7)より β を決定した。このような乱れ特性量の算定法は、スプルトルにどのような曲線形を決定するかによって、算定結果も若干異なってくるという欠点がある。かくに平均スチールについては、従来においてはその曲線曲線形の相関係数への適合ということに重きが置かれていたため、本研究においても、従来の算定法でも併用して β を算定し、是れらの算定法による結果との間に顕著な差異の認められないもののみを採用した。このような乱れ特性量の算定法については、今後さらに詳細な検討を要し、別の機会に譲りたい。

乱れ特性量の算定結果は、他の研究者によるものも含め(8,9,10,11) 図-1-3に示されている。ただし、エネルギー-逸散率に訂する普遍曲線表については case A あるいは B に示されたものにもとづき、これらの2ケースに対する場合についてのみ示されている。これらの図より明らかにならうに、乱れの強さ、平均スチールについては case A の表示がより妥当なようであり、エネルギー-逸散率については(8)の妥当性が確かである。なお、エネルギー-逸散率に訂する Raichlen⁽¹⁰⁾、McQuivey および Richardson⁽¹¹⁾ による値は、これら Dryden⁽⁸⁾ のみとの適用によるものであり、乱れ構造の多量性を考慮していないため、若干大きくなるものと思われる。

3. 普遍曲線曲線形

前節の結果により、case A の普遍曲線表についてはのみ取り扱う。

平均スチールに訂する(8)の表示は Engelund⁽⁹⁾ により最近提案されたばかりのものであり、その曲線形に対する検討はほとんど行われていない。ここでは、7)のようにしてその曲線形を決定する。

開水路流における乱れエネルギーの供給は主として路床面近傍より発生する向欠的上昇流(余波⁽¹³⁾)による(1)層モデルによってその機構が明らかにされる可能性がある)によって生ずると考えられるが、向欠の上昇流の発生周期はやはり長く、それによって形成される乱れのスチールもまたかなり大きいものと考えられる。したがって、このようなスチールが水深より大きいものとするとき水深方向

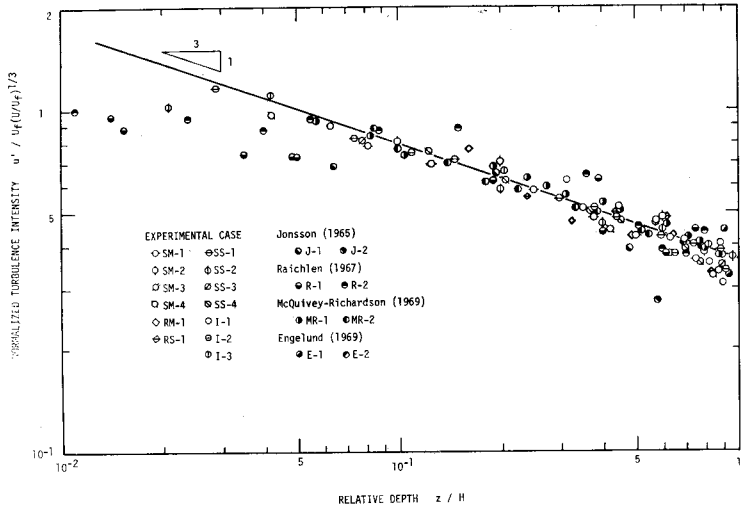


図-4 乱れの強さと相対水深の関係

の変化はほとんど無視され、水平方向のみの特性によつて把握することができる。また、このようなスケールの乱れが水深方向の任意の一点を通過する時間的間隔は路床からの高さには関係しないと考へられ、基本的な水理量Hおよび U_s より形成される時間次元をもつ量 H/U_s によつて次元化されたものは強さのみの普遍函数となるとする、

$$\phi_{LE}^{(0)}(z/H) = \frac{LE}{H(U_s/4z)} \sim \text{const.} \quad (9)$$

となる。(9)はVelikanov¹⁰⁾によるStrouhal数一定という考え方に類似しているが、Velikanovのモデルは流れ方向に一定の長さをもつた乱塊を対象としているのに対し、(9)は乱塊の通過間隔が一定となることを意味しており、両者の物理的意義はやはり異なる。

一方、エネルギー通数率については、図-3より明らかになるように、つぎのように表わすことが可能である。

$$\phi_E(z/H) = \frac{E}{U_s^3/H} \sim \left(\frac{z}{H}\right)^{-1} \quad (9)$$

(9)および(4)より乱れの強さについては、つぎの普遍函数形が導かれる。

$$\phi_{u'}^{(0)}(z/H) = \frac{u'}{U_s(U_s/4z)^{1/2}} \sim \left(\frac{z}{H}\right)^{-1/3} \quad (10)$$

図-4は、図-1に示された実測値を両対数軸上に示したものであるが、路床面近傍を除いて、(10)はかなりよく実測値と適合していることがわかる。なお、(8)~(10)における比例定数以上の実測より定めると、

$$\frac{u'}{U_s(U_s/4z)^{1/2}} \approx 0.36 \left(\frac{z}{H}\right)^{-1/3}, \quad (11) \quad \frac{LE}{H(U_s/4z)} \approx 0.15 \quad (12) \quad \frac{E}{U_s^3/H} \approx 0.4 \left(\frac{z}{H}\right)^{-1} \quad (13)$$

が得られるが、このような量の評価については、さらに今後の検討が必要である。

参考文献

1) 今本; 昭45年度関西支部講演会 II-34, 1970	6) Iwasa, Y., Imamoto, H.; Proc. 14th Congr. IAHR, Paris, 1971 (in printing).	11) McQuivey, Richardson; J. Hy. Div., ASCE, 95, HY1, 1969
2) 今本; 第25回土木学会講演会, II-112, 1970.	7) Lumley, J. L.; The Structure of Atmospheric Turbulence, Inter. Pub., New York, 1964.	12) Dryden, H. L.; Quart. Appl. Math., 1943.
3) Monin, Yaglom; Statistical Hydromechanics Nauk, 1967	8) Ippen, Raichlen; J. Hy. Div., ASCE, 93, HY5, 1957	13) Yokosi, S.; Bull. Disast. Prev. Res. Inst. Kyoto Univ., 12, 1967.
4) Engelund, F.; J. Hy. Div., ASCE, 95, HY4, 1969	9) Jonsson, I. G.; Acta Polytech. Scand., C131, 1965.	14) Velikanov; Izv. Akad. Nauk, SSSR, 1957.
5) Taylor, G. I.; Proc. Roy. Soc., A181, 1935	10) Raichlen, F.; J. Eng. Mech. Div., ASCE, 93, EM3, 1969	